

Solitary Wave Solutions of the Multi-Field Sine-Gordon System

Mohammad Mohammadi¹, Alireza Olamaei^{2,*}

¹ Department of Physics, Faculty of Science, Persian Gulf University, Bushehr, Iran

² Department of Physics, Faculty of Science, Jahrom University, Jahrom, Iran

Received: 05.03.2024 Final revised: 09.06.2024 Accepted: 29.09.2024

Doi: [10.22055/jrms.2024.19490](https://doi.org/10.22055/jrms.2024.19490)

Abstract

In this paper, we introduce solitary solutions of the nonlinear multi-field sine-Gordon system. Despite the use of several independent entangled fields to introduce this system, but the collective behavior of these fields can lead to kink (antikink) solutions with the same macroscopic characteristics. In other words, a kink can be constructed in infinitely different states in terms of internal structure. The important point about this internal structure is that the output of the collisions is effectively dependent on it and we are actually witnessing an uncertainty in the output of the collisions. Radiative solutions are another type of solution of the multi-field sine-Gordon system that naturally appears in all kink-antikink collisions. Conversely, the collision of two topological radiative solutions can result in the creation of a kink-antikink pair.

Keywords: Sine-Gordon, kink, Radiative profiles, Uncertainty

Corresponding Author: olamaei@jahromu.ac.ir *

جواب‌های موجی منفرد سیستم سینوسی گوردن چند میدانه

محمد محمدی^۱، علیرضا علمائی^{*۲}

^۱گروه فیزیک، دانشکده علوم پایه، دانشگاه خلیج فارس، بوشهر، ایران

^۲گروه فیزیک، دانشکده علوم پایه، دانشگاه جهرم، جهرم، ایران

دریافت: ۱۴۰۲/۱۲/۱۵ نهایی: ۱۴۰۳/۰۳/۲۰ پذیرش: ۱۴۰۳/۰۷/۰۲

Doi: [10.22055/jrmb.2024.19490](https://doi.org/10.22055/jrmb.2024.19490)

چکیده

در این مقاله به معرفی جواب‌های منفرد سیستم غیرخطی سینوسی گوردن چند میدانه می‌پردازیم. علی‌رغم استفاده از تعدادی میدان مستقل در هم‌تینیه برای معرفی این سیستم، ولی رفتار جمعی این میدان‌ها می‌تواند به جواب‌های کینک (پادکینک) با ویژگی‌های ماکروسکوپیک یکسان متنج شود. بهینانی دیگر یک کینک به لحاظ ساختار داخلی بهینهایت وضعیت متفاوت می‌تواند ساخته شود. نکته مهم در رابطه با این ساختار داخلی آن است که خروجی برخوردها به طور مؤثری به آن وابسته بوده و عملاً شاهد یک عدم قطعیت در خروجی برخوردها هستیم. جواب‌های تابشی نوع دیگری از جواب‌های سیستم سینوسی گوردن چند میدانه می‌باشد که به طور طبیعی در همه برخوردهای ناهم‌فاز کینک-پادکینک ظاهر می‌شوند. بر عکس، برخورد دو جواب تابشی توپولوژیک می‌تواند به خلق یک زوج کینک-پادکینک متنج شود.

کلیدواژگان: سینوسی گوردن، کینک، بسته‌های تابشی، عدم قطعیت

موج منفرد را می‌توان از جنبه‌های مختلف دسته‌بندی کرد. اگر معادلات حاکم بر آنها نسبیتی (کلاسیکی) باشد آنها را جواب‌های منفرد نسبیتی (کلاسیکی) می‌نامیم. اگر رفتار آنها در بینهایت (مرزها) به مقادیر متفاوتی میل کند آنها را توپولوژیک می‌نامیم و در غیر این صورت، اگر مقادیر آنها در مرزها یکسان باشند غیرتوپولوژیک خواهد بود. خاصیت توپولوژیکی از این بابت مهم است که تضمینی بر پایداری است، بهینانی دیگر اگر یک جواب منفرد، توپولوژیک باشد ذاتاً پایدار بوده و کمینه انرژی را خواهد داشت. به عنوان نمونه‌هایی از جواب‌های توپولوژیکی نسبیتی در فضای زمان $1+3$ بعدی، می‌توان به ریسمان‌ها، تک قطبی‌های

مقدمه

در طول چند دهه اخیر، معادلات موج غیرخطی با جواب‌های منفرد یا سالیتونی نقش مهمی در توصیف پدیده‌های مختلف در شاخه‌های مختلف فیزیک از جمله اپتیک [۱،۲]، ماده چگال [۳،۴]، ذرات بنیادی [۵،۶] و بیوفیزیک [۷] داشته است. جواب‌های منفرد ویژه جواب‌های معادلات موج غیرخطی هستند که می‌توانند آزادانه و بدون هیچ‌گونه اعوچاجی در ظاهر خود منتشر شوند. علاوه بر این، چگالی انرژی متناظر آنها جایگزینده است. سالیتون‌ها نوع خاصی از جواب‌های منفرد هستند که ظاهر و سرعت آنها پس از برخورد بدون هیچ تغییری بازیابی می‌شوند. جواب‌های

* نویسنده مسئول: olamaei@jahromu.ac.ir



گوردون پیشنهاد می‌دهد، ساختاری که در شرح جزئیات ماکروسکوپیکی یک جواب منفرد (مثل شکل و انرژی) بی‌اثر است ولی در برهم‌کنش‌ها به صورت قابل ملاحظه‌ای تأثیرگذار است. به بیانی دیگر این مدل چندمیدانی به خوبی بهما نشان می‌دهد که چگونه مفاهیمی همچون عدم قطعیت در خروجی برهم‌کنش‌ها را می‌توان از یک مدل غیرخطی به سادگی نتیجه گرفت. برای نسخه چندمیدانه سیستم سینوسی-گوردون، در کنار جواب‌های کینک و پادکینک، نوع دیگری از جواب‌های منفرد به نام جواب‌های تابشی حاصل می‌شود که جرم سکون صفر داشته و با سرعت نور حرکت می‌کنند. نتایج عددی نشان می‌دهد که در برخورد بین زوج‌های کینک-پادکینک، همیشه (غیر از موارد خاص) شاهد ظهور چنین موجوداتی هستیم. به صورت عکس، نشان داده‌ایم که برخورد دو جواب تابشی توپولوژیک می‌تواند به خلق یک زوج کینک-پادکینک چندمیدانه ختم شود.

باید توجه داشت که پیش از این در مقاله [۲۵] نسخه دومیدانه این نوع از سیستم‌ها تحت عنوان سیستم سینوسی گوردون مختلط بررسی شده است. همچنین برای نوع مختلط سیستم‌های Φ^4 و Φ^6 می‌توان به مقالات [۲۶، ۲۷] اشاره نمود. مقاله حاضر در واقع تعمیمی از کارهای قبلی است و با بیانی ریاضیاتی و جامع، ولی به صورت خلاصه، ایده کینک (پادکینک)‌های چندمیدانه را مطرح می‌کند.

سیستم سینوسی گوردون تکمیدانه

چگالی لاغرانژی استاندارد سیستم نسبیتی غیرخطی سینوسی گوردون در فضا-زمان $1+1$ بعدی به وسیله چگالی لاغرانژی زیر معرفی می‌شود:

$$\mathcal{L} = \frac{1}{2} \partial_\mu \phi \partial^\mu \phi - (1 - \cos \phi) \quad 1$$

مغناطیسی و اسکرمیون‌ها [۱۱-۱۸] اشاره نمود که در کیهان‌شناسی و فیزیک هادرونی کاربرد دارند. در رابطه با سیستم‌هایی با جواب‌های منفرد کلاسیکی (توپولوژیک و غیر توپولوژیک) کارهای زیادی انجام شده است که از میان آن‌ها می‌توان به معادله KdV، معادله شرودینگر غیرخطی و برگزرا اشاره نمود [۱۴-۱۲].

در فضا-زمان $1+1$ بعدی، ساده‌ترین مدل‌هایی که می‌تواند به جواب‌های منفرد توپولوژیک ختم شود گونه‌ای از سیستم‌های کلاین گوردون غیرخطی است که جواب‌های خاص آنها را کینک و پادکینک می‌نامند [۵، ۶]. اهمیت و کاربرد چنین جواب‌هایی به صراحت در مطالعه حرکت موج در مولکول‌های DNA و صفحات گرافن نشان داده شده است [۷، ۱۵-۲۰]. در میان انواع زیادی از سیستم‌های دارای جواب‌های کینک (پادکینک)، دو سیستم Φ^4 و سینوسی-گوردون (SG) به طور خاص و ویژه مورد مطالعه قرار گرفته‌اند [۵، ۶]. جدا از کاربردهای فراوان، از جنبه ریاضیاتی سیستم سینوسی-گوردون از این بابت مهم است که تنها سیستم کلاین گوردون $1+1$ بعدی است که جواب‌های کینک و پادکینک آن به تمام معنا خاصیت سالیتونی دارند.

سیستم سینوسی گوردون و کلاسیک سیستم‌هایی با جواب‌های کینک، بر مبنای یک تکمیدان خود-برهم‌کنش تعریف شده‌اند. با این حال نسخه‌های دومیدانی آنها هم مورد توجه محققین بوده است و حاوی جزئیات و غنای بیشتری می‌باشد [۲۱-۲۴]. در این مقاله یک نسخه چندمیدانی از سیستم سینوسی گوردون معرفی می‌نماییم که در آن هر کدام از میدان‌ها یک ساختار توپولوژیک مستقل دارند ولی جمیع آنها می‌باشند به یک ساختار مشخص توپولوژیک مقید شوند. این مدل در واقع راهی برای ایجاد یک ساختار درونی جواب‌های کینک و پادکینک سیستم سینوسی

سیستم سینوسی گوردون n میدانه

در حالت کلی یک سیستم سینوسی گوردون n میدانه با استفاده از چگالی لاگرانژی زیر معرفی می‌شود:

$$\mathcal{L} = \frac{1}{2} \sum_{i=1}^n \partial_\mu \phi_i \partial^\mu \phi_i - (1 - \cos R) \quad 6$$

که در آن

$$R = (\sum_{i=1}^n \phi_i^2)^{1/2} \quad 7$$

به عنوان میدان اندازه میدان‌ها یا مدول معرفی می‌شود و ϕ_i ‌ها حقیقی هستند. نسخه $1 = n$ همان سیستم سینوسی گوردون معروف رابطه ۱ می‌باشد.
مورد $2 = n = 2$ قبلاً در مقاله [۳] تحت عنوان سیستم سینوسی گوردون مختلط بررسی شده است و به طور هم‌ارز می‌توان آن را سیستم میدانی دومیدانه نامید.
نسخه مشابه روابط ۳ و ۴ برای تansور انرژی-تکانه و چگالی انرژی به صورت زیر به دست می‌آیند:

$$T^{\mu\nu} = \sum_{i=1}^n \partial_\mu \phi_i \partial^\nu \phi_i - g^{\mu\nu} \mathcal{L}, \quad 8$$

$$\epsilon = \frac{1}{2} \sum_{i=1}^n (\dot{\phi}_i^2 + \phi_i'^2) + 1 - \cos R. \quad 9$$

معادلات دینامیکی مرتبط با چگالی لاگرانژی^۶ به صورت زیر قابل حصول است:

$$\partial_\mu \partial^\mu \phi_i = -\frac{\phi_i}{R} \sin(R). \quad (i = 1, \dots, n) \quad 10$$

به دلیل ماهیت $1+1$ بعدی این سیستم، n کمیت پایسته بار توپولوژیک وجود دارد:

$$Q_i = \int_{-\infty}^{+\infty} J_i^0 dx, \quad (i = 1, \dots, n) \quad 11$$

که در آن Φ یک میدان نرده‌ای می‌باشد. با توجه به اصل کمترین کنش، معادله دینامیکی مربوطه به فرم زیر حاصل خواهد شد:

$$\partial_\mu \partial^\mu \phi = -\sin(\phi). \quad 2$$

تansور انرژی تکانه مربوط به چگالی لاگرانژی ۱ با به کارگیری قضیه نوئر^۱ به صورت زیر به دست می‌آید:

$$T^{\mu\nu} = \partial^\mu \phi \partial^\nu \phi - g^{\mu\nu} \mathcal{L}, \quad 3$$

که در آن $g^{\mu\nu}$ تansور متریک می‌باشد ($g^{00} = 1$, $g^{10} = g^{01} = 0$ و $g^{11} = -1$)، مؤلفه T^{00} این تansور به عنوان چگالی انرژی تعییر می‌شود:
 $\epsilon(x, t) = \frac{1}{2} (\dot{\phi}^2 + \phi'^2) + 1 - \cos \phi,$ ^۴

که در آن علامت‌های نقطه و پرایم به ترتیب به معنای مشتق زمانی و مشتق مکانی هستند. باید توجه داشت که در کل این مقاله برای سادگی سرعت نور c را برابر با واحد فرض کردہ‌ایم.

برای سیستم سینوسی گوردون ۱ دو جواب معروف کینک (علامت +) و پادکینک (علامت -) به عنوان دو جواب منفرد رونده به صورت:

$$\phi(x, t) = 4 \tan^{-1}(e^{\pm\gamma(x-vt-)}), \quad 5$$

به دست می‌آیند. در اینجا v سرعت جواب منفرد، a مکان اولیه و $\gamma = 1/\sqrt{1-v^2}$ ضریب لورنتس می‌باشد. این دسته جواب‌های منفرد سیستم سینوسی گوردون خاصیت سالیتونی دارند، به این معنی که بدون هیچ گونه تعییری در هر برخوردی مجددًا ظاهر می‌شوند.

¹ Noether's theorem

$$\phi_i = \alpha_i (4 \tan^{-1}(e^{\pm\gamma(x-vt-a)})) \quad ۱۶$$

که معرف یک جواب کینک (پادکینک) برای یک سیستم سینوسی-گوردون n میدانه است که با سرعت v به سمت راست حرکت می‌کند.

برای کینک (پادکینک)‌های مختلف ۱۶ با α_i های متفاوت که سرعت‌های یکسان دارند، مستقل از مقادیر α_i ‌ها (که شرط ۱۵ را ارضاء می‌کنند)، تانسور انرژی تکانه ۸ یکسان خواهد بود. به عبارت دیگر تانسور انرژی و تکانه ۸ برای جواب‌های کینک (پادکینک) تنها وابسته به سرعت می‌باشد. انرژی و تکانه یک جواب کینک (پادکینک) از طریق انتگرال‌گیری روی مؤلفه T^{00} و T^{01} حاصل می‌شود. به سادگی می‌توان نشان داد که روابط استاندارد انرژی-تکانه نسبیتی مطابق انتظار برقرار خواهد بود:

$$E_v = \gamma E_0 = \int_{-\infty}^{+\infty} T^{00} dx, \quad ۱۷$$

$$p = \gamma m_0 v = \int_{-\infty}^{+\infty} T^{01} dx, \quad ۱۸$$

در اینجا E_0 و p به ترتیب انرژی سکون، انرژی کل و تکانه یک جواب کینک (پادکینک) هستند که با سرعت v حرکت می‌کند. بنابراین مستقل از α_i ‌ها، جواب‌های کینک (پادکینک) به عنوان جواب‌های شبهدرهای انرژی سکون یکسان دارند. با این حال نشان می‌دهیم تفاوت در ساختار درونی یک کینک (تفاوت در α_i ‌ها) نقش بسیار تعیین کننده‌ای در خروجی برخوردها دارد.

جواب‌های کینک (پادکینک) اساساً توپولوژیک هستند و برای آنها خواهیم داشت: $Q_i = C \alpha_i \varphi'$ و $J_i^0 = C \alpha_i \varphi$. همچنین برای این جواب‌ها، چگالی جریان برای الکتریکی صفر می‌باشد $j_{(l,m)}^\mu = 0$.

که در آن J_i^0 مؤلفه صفرم بردار نسبیتی J_i^μ (چگالی جریان بار توپولوژیک) می‌باشد که به صورت زیر تعریف می‌شود:

$$J_i^\mu = C \epsilon^{\mu\nu} \partial_\nu \phi_i \quad ۱۲$$

در اینجا C صرفاً یک عدد ثابت دلخواه و $\epsilon^{\mu\nu}$ تانسور پاد متقارن 2×2 می‌باشد [۲۷]. به سادگی می‌توان نشان داد هرکدام از این بردارهای نسبیتی، یک معادله پیوستگی $(\partial_\mu J_i^\mu = 0)$ را ارضاء می‌کند.

علاوه بر این، برای هر دو میدان متفاوت ϕ_l و ϕ_m می‌توان یک بردار نسبیتی جدید (مشابه چگالی جریان بار الکتریکی) به صورت زیر تعریف نمود:

$$j_{(l,m)}^\mu = C' (\phi_l \partial^\mu \phi_m - \phi_m \partial^\mu \phi_l) \quad ۱۳$$

که در آن C' یک عدد دلخواه است. مطابق معادلات ۱۰ به سادگی می‌توان نشان داد معادله پیوستگی در اینجا نیز برقرار است $(\partial_\mu j_{(l,m)}^\mu = 0)$. دقت شود $j_{(l,m)}^\mu = j_{(m,l)}^\mu$ و $m \neq l$ به عبارت دیگر $n(n-1)/2$ چاربردار مستقل $j_{(l,m)}^\mu$ داریم. برای هرکدام از این چاربرداها کمیت پاییته (مشابه بار الکتریکی) به صورت زیر خواهد بود:

$$q_{(l,m)} = \int_{-\infty}^{+\infty} j_{(l,m)}^0 dx. \quad ۱۴$$

جواب‌های کینک (پادکینک) n میدانه

برای n معادله جفت شده ۸ چنانچه n ثابت α_i به نحوی داشته باشیم که شرط

$$\sum_{i=1}^n \alpha_i^2 = 1 \quad ۱۵$$

برقرار باشد، در این صورت جوابی به صورت زیر در حالت کلی وجود خواهد داشت:

لزوماً یک جواب نخواهد بود. با این حال اگر مرکز جواب‌های منفرد در لحظات اولیه از هم به اندازه کافی زیاد باشند این ترکیب خطی با اضافه نمودن چند عدد ویژه به طور تقریبی یک جواب خواهد بود. به عنوان نمونه، برای برخورد یک زوج کینک-پادکینک (پادکینک-کینک) سه میدانه که مکان اولیه آنها به ترتیب a و b و سرعت‌های اولیه‌شان به ترتیب v_1 و v_2 باشد، ترکیب خطی زیر برای لحظات اولیه مشروط به اینکه $|b - a| \gg 1$ باز هم یک جواب خواهد بود:

$$\phi_1 = \alpha_1 \varphi(a, v_1) + \beta_1 \Phi(b, v_2) - C_1$$

$$\phi_2 = \alpha_2 \varphi(a, v_1) + \beta_2 \Phi(b, v_2) - C_2$$

$$\phi_3 = \alpha_3 \varphi(a, v_1) + \beta_3 \Phi(b, v_2) - C_3$$

۲۲

که در آن

$$\varphi(a, v_1) = 4 \tan^{-1}(e^{+\gamma_1(x - v_1 t - a)})$$

۹

$$\Phi(b, v_2) = 4 \tan^{-1}(e^{-\gamma_2(x - v_2 t - b)})$$

البته باید دقت داشت که $\sum_{i=1}^3 \alpha_i^2 = 1$ و

$\sum_{i=1}^3 \beta_i^2 = 1$. در روابط ۲۲ برای ثابت‌های C_1 و C_2 باید اعداد خاصی انتخاب شوند، برای نمونه:

$$C_i = (\alpha_i + \beta_i)2\pi, \quad i = 1, 2, 3 \quad ۲۳$$

جواب‌های تابشی

اگر تابعیت میدان‌ها بر حسب فضا-زمان و در همه زمان‌ها و مکان‌ها به صورت $(x \pm t)\phi$ باشد، مشروط به اینکه

$$\sum_{i=1}^n \phi_i^2 = (2m\pi)^2, \quad m \in \mathbb{N}, \quad ۱۹$$

در این صورت یک جواب رونده با سرعت نور ($c = 1$) خواهیم داشت که آن را یک جواب تابشی می‌نامیم. در واقع برای شرط ۱۹ سمت راست معادلات دینامیکی ۱۰ صفر می‌شود و عملاً n معادله موج خطی داریم که جواب‌هایی رونده با سرعت نور نتیجه می‌دهند. برای نمونه برای سیستم سه میدانه جوابی به صورت زیر یک جواب تابشی خواهد بود:

$$\begin{aligned} \phi_1 &= e^{-(x-t)^2}, \quad \phi_2 = e^{-2(x-t)^4} \\ \phi_3 &= \sqrt{4\pi^2 - e^{-2(x-t)^2} - e^{-4(x-t)^4}} \quad ۲۰ \end{aligned}$$

برای چنین جواب‌هایی می‌توان به سادگی نشان داد رابطه بین انرژی و تکانه همان رابطه‌ای است که برای فوتون‌ها (موجوداتی با جرم سکون صفر) انتظار داریم:

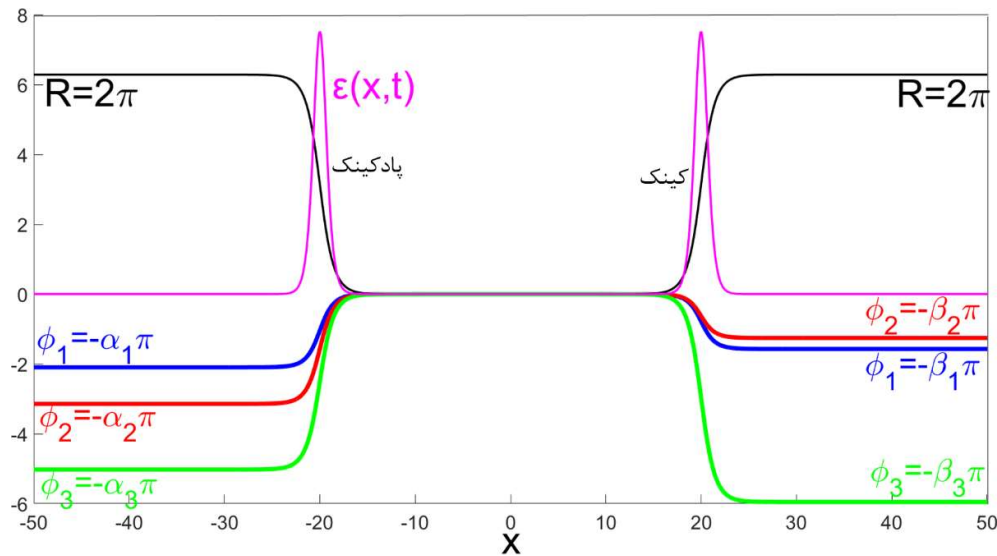
$$p = \pm E. \quad ۲۱$$

$$p = \int_{-\infty}^{+\infty} T^{01} dx \quad E = \int_{-\infty}^{+\infty} T^{00} dx$$

جواب‌های تابشی ممکن است توپولوژیک ($Q_i \neq 0$) یا غیر توپولوژیک ($Q_i = 0$) باشند. همچنین بار الکتریکی برای آنها ممکن است صفر یا غیر صفر باشد.

ملاحظات عددی

از آنجا که معادلات دینامیکی ۱۰ غیرخطی هستند، ترکیب خطی دو یا چند جواب منفرد کینک و پادکینک



شکل ۱. نمایش میدان‌ها و میدان اندازه حاصل از آنها (R) برای جواب تقریبی ۲۲. انتخاب ثابت‌های C_1 ، C_2 و C_3 به‌نحوی انجام

شده که میدان اندازه R بین 0 تا 2π قرار گیرد. وضعیت تصویر شده به‌ازاء $\phi_1 = -\alpha_1\pi$ ، $\phi_2 = -\alpha_2\pi$ و $\phi_3 = -\alpha_3\pi$ به‌دست آمده است.

را به‌اندازه کافی دور اختیار می‌کنیم، مثلاً $x_l = -100$ (دیواره سمت چپ) و $x_r = 100$ (دیواره سمت راست). در تمام نتایج عددی $a = -20$ و $b = 20$ انتخاب می‌شود و این دو انتخاب برای اطمینان از عدم همپوشانی نواحی نزدیک به مرکز زوج‌های کینک و پادکینک بر روی یکدیگر کفایت می‌کند. برای سادگی در محاسبات بهتر این است که خود را به دستگاه مرکز جرم محدود نماییم یعنی وضعیتی که $v_1 = -v_2$.

در واقع این اعداد باید به نحوی انتخاب شوند که میدان اندازه R بر روی مرزها ($\pm\infty$) برابر با یکی از نقاط خلاً بشود (شکل ۱). یک نقطه خلا، یک میدان خاص است که به‌ازاء آن پتانسیل صفر می‌شود. برای سیستم سینوسی گوردون نقاط خلاً عبارتند از $2m\pi$ که در آن m یک عدد صحیح می‌باشد. برای معرفی کینک سه میدانه می‌بایست تغییرات R مربوطه را بررسی کنیم. اگر مقدار R سمت راست (چپ) بیشتر از سمت چپ (راست) باشد با یک کینک (پادکینک) روبرو هستیم. با معرفی رابطه ۲۲ به عنوان شرط اولیه برای معادلات دینامیکی 10 ، شرایط برای به کارگیری یک روش عددی جهت یافتن خروجی برخورد یک کینک-پادکینک مهیا است. در اینجا یک روش تفاضلی محدود با گام‌های فضایی $h = 0.02$ و زمانی $k = 0.015$ استفاده می‌کنیم. مرزها را به مقادیر مشخص شده در شکل ۱ ثابت می‌کنیم، ولی برای اینکه مطمئن باشیم خروجی برخوردها در طی اجرای برنامه به مرزها نمی‌رسند آنها

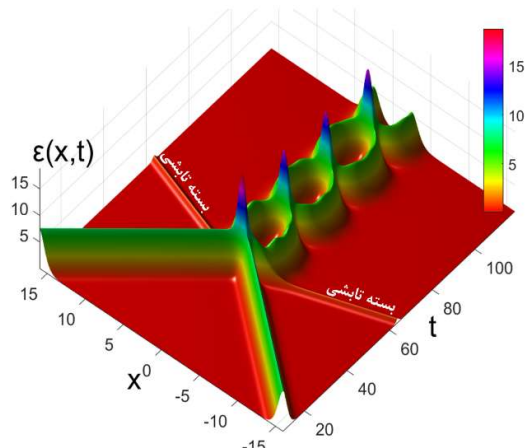
نتایج عددی

مهم‌ترین نکته‌ای که از خروجی برخوردهای کینک-پادکینک برای سیستم‌های n میدانه (در اینجا برای سادگی تنها مورد $n = 3$ بررسی شده است) وجود دارد آن است که خروجی برخوردها به طور مؤثری به اعداد α_i و β_i بستگی دارد. برای وضعیتی که $\alpha_i = \beta_i$ عملاً نتیجه همان است که از خروجی برخوردهای زوج کینک-پادکینک در سیستم سینوسی گوردون تک میدانه شناخته شده است. برای وضعیت $\alpha_i = -\beta_i$ خروجی دقیقاً مشابه وضعیت برخورد یک زوج کینک-کینک (پادکینک-پادکینک) در سیستم سینوسی گوردون تک میدانه است. به عبارت دیگر برای این دو وضعیت، عملاً بدون هیچ گونه تغییری در شکل و جزئیات، چگالی انرژی وضعیت قبل و بعد از برخورد یکسان خواهد بود.

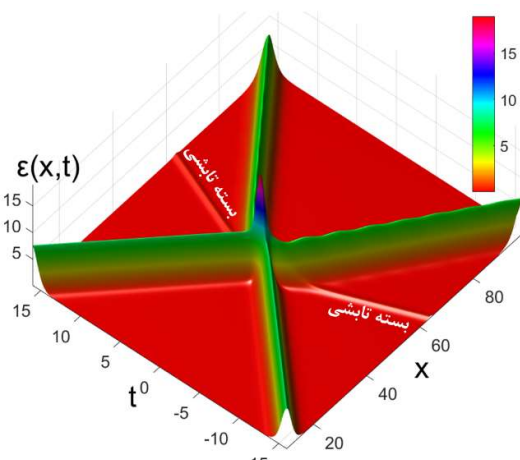
برای وضعیت‌های غیر مشابه با موارد قبل همیشه شاهد ظهور دو بسته موج تابشی خواهیم بود. منظور از بسته موج تابشی یک جواب تابشی با چگالی انرژی جایگزینه می‌باشد. البته این وضعیت برای یک سرعت برخوردي مشخص به دو صورت متفاوت رقم می‌خورد:

۱. زوج برخورد کننده نابود می‌شوند و از خروجی آنها دو بسته موج تابشی به همراه یک جواب تپنده^۱ تولید می‌شود. برای نمونه در شکل ۲ نتیجه خروجی مربوط به زوج $\beta_1 = \frac{1}{2}$, $\alpha_3 = \frac{\sqrt{26}}{6}$, $\alpha_2 = \frac{1}{2}$, $\alpha_1 = \frac{1}{6}$, $v_1 = 0.4$, $\beta_3 = \frac{\sqrt{74}}{10}$ و $\beta_2 = \frac{1}{10}$ دیده می‌شود.

۲. زوج برخورد کننده به همراه یک زوج بسته تابشی مجدد ظاهر می‌شوند ولی بدیهی است که انرژی



شکل ۲. نمایش چگالی انرژی برخورد یک کینک-پادکینک با سرعت $v = 0.4$ و با داده‌های مشخص شده در متن (حالت ۱).



شکل ۳. نمایش چگالی انرژی برخورد یک کینک-پادکینک با سرعت $v = 0.4$ و با داده‌های مشخص شده در متن (حالت ۲).

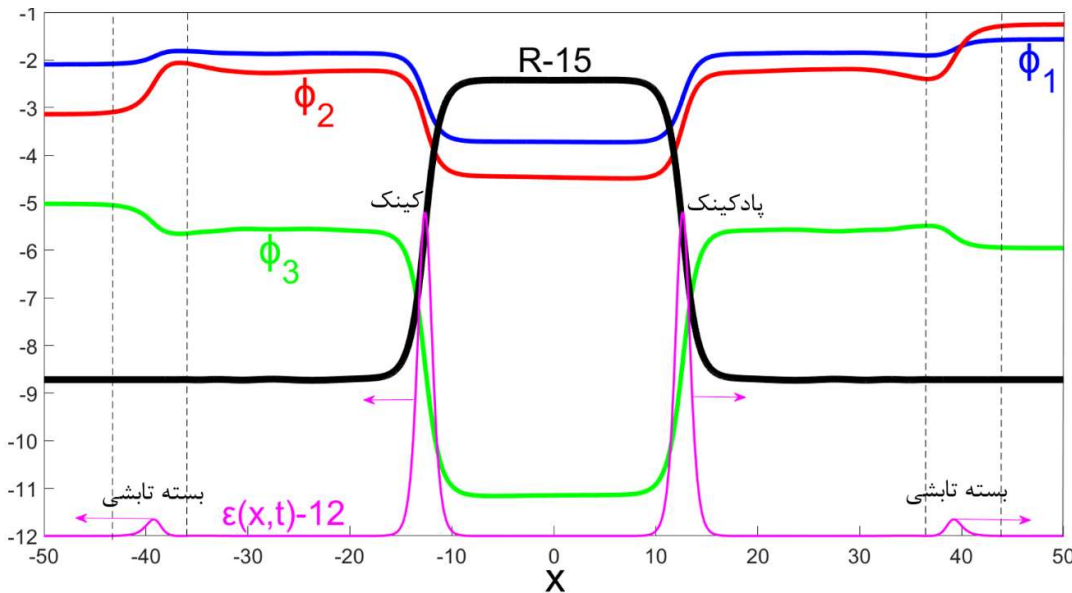
و تندی آنها بعد از برخورد کمتر می‌باشد. به دلیل بقای بار توپولوژیک، مطمئن هستیم ساختار زوج قبل و بعد عوض نمی‌شود. برای نمونه در شکل ۳ خروجی

مربوط به زوج

$$\beta_1 = \frac{1}{4}, \alpha_3 = \frac{\sqrt{191}}{15}, \alpha_2 = \frac{1}{2}, \alpha_1 = \frac{1}{3}, v_1 = 0.4, \beta_3 = \frac{\sqrt{2}}{2} \text{ و } \beta_2 = \frac{1}{5}$$

مشاهده می‌شود.

^۱ Breather



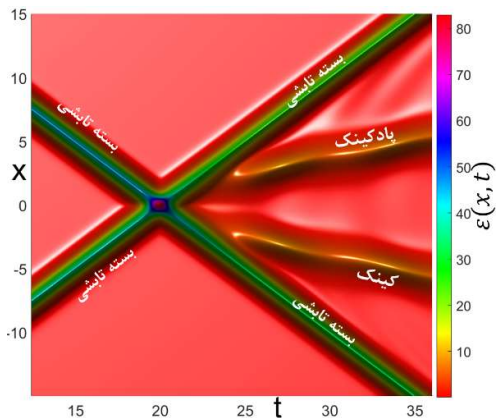
شکل ۴. نمایش میدان‌ها، میدان اندازه حاصل از آنها (R) و چگالی انرژی برای بعد از برخورد مربوط به حالت ۲ در زمان $t = 87$. نتیجه شکل ۱ به عنوان شرط اولیه می‌باشد. برای اینکه میدان اندازه و چگالی انرژی همگی در یک صفحه واقع شوند مجبور شدیم آنها را به اعداد نوشتۀ شده ۱۵ و ۱۲ رو به پایین جایه‌جا نماییم.

ترکیب مشخص از α_i ها و β_i ها همواره یک سرعت آستانه وجود دارد که برای سرعت‌های کمتر از آن جذب و برای سرعت‌های بیشتر از آن پراکندگی رقم خورد. برای به دست آوردن سرعت آستانه، دو سرعت که به‌ازاء یکی جذب و به‌ازاء دیگری پراکندگی اتفاق می‌افتد را انتخاب می‌کنیم. سپس وارسی می‌کنیم که برای میانگین این دو سرعت جذب یا پراکندگی، کدامیک رقم می‌خورد. فرض کنیم به‌ازاء میانگین جذب اتفاق می‌افتد. حال بین سرعت میانگین و سرعت پراکندگی مجددًا میانگین گرفته و مجدد جذب یا پراکندگی آن را بررسی می‌کنیم. به‌همین ترتیب بازه‌های کوچک‌تری از سرعت بین جذب و پراکندگی به صورت عددی حاصل می‌شود تا به سرعت آستانه نزدیک‌تر شویم. مثلاً برای حالت ۲ این سرعت آستانه $v_c \approx 0.274$ و برای حالت ۱، $0.429 \approx v_c$ می‌باشد. ظهور بسته‌های تابشی در برخورد بین کینک-پادکینک‌ها امری معمول و عادی است. این بسته‌های

در رابطه با مورد ۲ باید این نکته را گوشزد کرد که کینک و پادکینک حاصله بعد از برخورد نوسانی هستند، ولی این نوسانات موقتی بوده و در گذر زمان، از طریق تابش‌های ریز کم‌دامنه، انرژی داخلی مربوط به‌این نوسانات کاهش می‌یابد و در نهایت این نوسانات از بین می‌روند. البته این نتیجه قابل انتظار بود زیرا سیستم سینوسی گوردون اساساً هیچ گونه مد غیربدیهی داخلی به عنوان کانالی برای جذب و نگهداشت انرژی ندارد. بدیهی است اگر به جای سیستم سینوسی گوردون از سیستم دیگری همچون سیستم Φ^4 که چنین مد داخلی را دارد استفاده می‌کردیم، این نوسانات به‌طور دائمی در گذر زمان بقا می‌داشت.

باید توجه داشت که خروجی برخوردها به‌طور مؤثری وابسته به سرعت اولیه می‌باشد. برای مثال برای مورد مربوط به شکل ۳ اگر سرعت برخورد (اولیه) را به نصف کاهش دهیم، به جای پراکندگی، جذب رقم می‌خورد (همانند شکل ۲). بنابراین بدیهی است که برای هر

سرعت نور حرکت می‌کنند) یک زوج موجود با جرم سکون غیرصفر تولید کند.



شکل ۵: نمایش چگالی انرژی برخورد دو بسته تابشی که به تولید یک زوج کینک-پادکینک ختم می‌شود.

به عنوان یک مقایسه با نتایج پیشین، شکل ۷ مرجع [۲۷] را با شکل ۵ مقایسه می‌کنیم. به لحاظ ظاهری در کلیات این دو شکل مثل هم هستند ولی در جزئیات با هم تفاوت دارند. مثلاً در شکل ۷ مرجع [۲۷] دو بسته تابشی دقیقاً مشابه با یکدیگر برخورد کرده‌اند ولی در شکل ۵ دو بسته تابشی مشابه ولی با انرژی‌های متفاوت به هم برخورد کرده‌اند. اساساً نوع تابعیتی که برای معرفی بسته‌های تابشی در شکل ۵ استفاده شده است با آنچه که در شکل ۷ مرجع [۲۷] داریم متفاوت است. این طور به نظر می‌رسد که کلیت مکانیسم فرآیند خلق زوج کینک-پادکینک در برخوردهای تابشی ماهیتی مستقل از تعداد میدان‌های به کار گرفته شده و توابع دلخواه استفاده شده برای طراحی بسته‌های تابشی دارد.

تابشی ساختار غیر توپولوژیک ندارند و مانند کینک (پادکینک) ها توپولوژیک هستند. برای نمونه شکل ۴ که یک فریم از میدان‌ها و اندازه آنها بعد از یک برخورد خاص (حالت ۲) را به نمایش می‌گذارد به خوبی گویای ساختار توپولوژیکی میدان‌های Φ_1 , Φ_2 و Φ_3 برای بسته‌های تابشی بعد از برخوردها می‌باشد. سؤال مهمی که در اینجا قابل طرح است این است که آیا به طور عکس، برخورد بسته‌های تابشی می‌تواند به ظهور یک زوج کینک-پادکینک منتج شود؟ جواب این سؤال مثبت است و ما این مهم را به صورت عددی با سعی و خطا برای برخورد دو بسته تابشی توپولوژیک نشان می‌دهیم. برای این منظور توابع مختلفی را برای معرفی بسته‌های تابشی به کار گرفتیم که برخورد بعضی از آنها به ظهور یک زوج کینک-پادکینک منجر شد. به عنوان مثال بر مبنای تابع دلخواه

$$\Psi_{a,\pm}(x,t) = \tanh(x \pm t - a),$$

که در آن a یک عدد ثابت می‌باشد، و همچنین اعمال قید ۱۹، می‌توان دو بسته تابشی منفک از هم در لحظات اولیه $t \rightarrow 0$ به صورت زیر تعریف نمود:

$$\Phi_1 = (\pi - 0.5)\Psi_{a,+} + \pi\Psi_{b,-},$$

$$\Phi_2 = \pi\Psi_{a-} + \pi\Psi_{b,+},$$

$$\Phi_3 = \sqrt{(4\pi)^2 - \Phi_1^2 - \Phi_2^2}, \quad ۲۴$$

مشروط باینکه $|b - a| \gg 1$. در عمل برای تابع $\Psi_{a,\pm}$ و ترکیب دلخواه ۲۴ به نهایت انتخاب دلخواه می‌توان داشت ولی لزوماً همه آنها به ظهور یک زوج کینک-پادکینک منجر نخواهند شد.

از خروجی برخورد زوج تابشی ۲۵ مطابق شکل ۵، یک زوج کینک به همراه دو بسته تابشی جدید تولید می‌شود. این پدیده چیزی مشابه تولید زوج در فیزیک است و از این جنبه جالب توجه می‌باشد. بهیانی دقیق‌تر، طبیعت غیرخطی حاکم بر سیستم، عاملی است که می‌تواند از دو موجود تابشی با جرم سکون صفر (که با

نتیجه‌گیری

برخلاف سیستم سینوسی گوردون که نتیجه برخورد جواب‌های کینک-پادکینک آن به طور قطعی مشخص است، جواب‌های کینک و پادکینک یک سیستم سینوسی گوردون چند میدانه، علی‌رغم داشتن شکل و انرژی یکسان، در برخوردها رفتارهای قطعی و مشخصی از خود بروز نمی‌دهند. این عدم قطعیت ریشه در ساختار داخلی کینک (پادکینک) ها دارد. بهیان دیگر یک کینک (پادکینک) ملمعه‌ای از چند میدان درهم تندیه می‌باشد که به روش‌های مختلف می‌توانند در کنار هم قرار گیرند و خروجی برخوردها تابعی از تفاوت ساختاری زوج کینک-پادکینک برخورد کننده خواهد بود. از این‌رو به‌نظر می‌رسد که (شبه) ذراتی با ظاهر ماکروسکوپیک یکسان داریم ولی از درون ماهیتی متفاوت دارند. این تفاوت در ساختار داخلی از طریق مفهوم بار توپولوژیک به‌سادگی قابل بیان است. برای یک سیستم سینوسی گوردون n میدانه، n بار توپولوژیک مستقل Q_i وجود دارد و زمانی می‌توانیم دو کینک (پادکینک) را به‌لحاظ ساختار داخلی دقیقاً یکی بنامیم که این بارها با هم برابر باشند.

سیستم سینوسی گوردون چند میدانه، برخلاف نسخه ساده و تک‌میدانه آن، حاوی تنوعی از جواب‌های منفرد با جرم سکون صفر و سرعت نور در کنار کینک‌ها و پادکینک‌ها با ساختار داخلی گوناگون می‌باشد. در این مطالعه ما همه جنبه‌های مربوط به برهم‌کش این‌گونه از جواب‌ها را بررسی نکردیم و باور داریم نکات و ملاحظات فراوانی در این زمینه وجود دارد که می‌تواند شروعی برای مقالات آتی باشد.

یکی از مهم‌ترین اهداف ما در نوشتمن این مقاله تأکید بر این نکته است که مطالعه سیستم‌های غیرخطی به چه میزان می‌تواند ادبیات و واژگان متفاوتی را القاء کند که به‌طور طبیعی از مدل‌های خطی مرسوم قابل انتظار

نیست. برای نمونه در رابطه با سیستم غیرخطی سینوسی گوردون مجبور شدیم از واژگان فیزیکی عدم قطعیت در برخوردها، نابودی و تولید زوج، بهره بگیریم؛ واژگانی که از جنبه فیزیکی برای ما کاملاً آشنا هستند. البته به کارگیری این واژگان نمی‌بایست با آنچه از مفهوم عدم قطعیت در کران‌نرم می‌شناسیم و یا نمی‌بایست با پدیده‌های تولید و نابودی زوج الکترون-پوزیترون یکسان انگاشته شود.

در انتهای باید به‌این نکته اشاره نمود که آنچه در این مقاله به صورت عددی به‌دست آورده‌یم نتیجه بررسی یک سیستم ۳ میدانه بود. فرض ما این است که نتایج وضعیت‌های مشابهی برای سایر سیستم‌ها با تعداد میدان‌های بالاتر برقرار باشد که البته به صورت عددی برای موارد محدودی بررسی شد ولی نتایج آنها در این مقاله گنجانده نشد. با این وجود باور داریم برای دیگر سیستم‌ها با میدان‌های بیشتر و مقایسه آنها باهم، نکات و ملاحظات نامکشوف زیادی وجود دارد که می‌تواند زمینه‌ای برای مطالعه در کارهای آینده باشد.

مرجع‌ها

- [1] T. Schneider, Nonlinear optics in telecommunications Springer Science & Business Media, (2013). <https://doi.org/10.1007/978-3-662-08996-5>
- [2] L.F. Mollenauer, J.P. Gordon, Solitons in optical fibers: fundamentals and applications Elsevier (2006). [Solitons in Optical Fibers - 1st Edition | Elsevier Shop](#)
- [3] A.R. Bishop, T. Schneider, Solitons and Condensed Matter Physics Springer Science & Business Media, (2012). <https://doi.org/10.1007/978-3-642-81291-0>
- [4] B.A. Strukov, A.P. Levanyuk, Ferroelectric phenomena in crystals: physical foundations (Springer Science & Business Media 2012). <https://doi.org/10.1007/978-3-642-60293-1>

- [15] M. Cadoni, R.De. Leo, and S. Demelio, Soliton propagation in homogeneous and inhomogeneous models for DNA torsion dynamics, Journal of Nonlinear Mathematical Physics, **18** (2011) 287-319.
<https://doi.org/10.1142/S1402925111001544>
- [16] A.A. Grinevich, A.A. Ryasik, and L.V. Yakushevich, Trajectories of DNA bubbles, **75** (2015) 62-75.
<https://doi.org/10.1016/j.chaos.2015.02.009>
- [17] L. Liu, C. Li, Coupled sine-Gordon systems in DNA dynamics. Advances in Mathematical Physics, **2018** (2018).
<https://doi.org/10.1155/2018/4676281>
- [18] S.V. Kryuchkov, E.L. Kukhar, Influence of the constant electric field on the mutual rectification of the electromagnetic waves in graphene superlattice, Physica E, **46** (2012) 25.
<https://doi.org/10.1016/j.physe.2012.08.014>
- [19] R.D. Yamaletdinov, V.A. Slipko, and Y.V. Pershin, Kinks and antikinks of buckled graphene: a testing ground for the ϕ^4 field model, Physical Review B, **96** (2017) 094306.
<https://doi.org/10.1103/PhysRevB.96.094306>
- [20] F. Martin-Vergara, F. Rus, F.R. Villatoro, Numerical search for the stationary quasi breather of the graphene superlattice equation, Chaos, Solitons and Fractals, **162** (2022) 112530.
<https://doi.org/10.1016/j.chaos.2022.112530>
- [21] N. Riazi, A. Azizi, S.M. Zebarjad, Soliton decay in a coupled system of scalar fields, Physical Review D **66** (2002), 065003.
<https://doi.org/10.1103/PhysRevD.66.065003>
- [22] D. Bazeia, R.F. Ribeiro, M.M. Santos, Topological defects inside domain walls, Physical Review D, **54** (1996) 1852.
- [5] R. Rajaraman, Solitons and Instantons Elsevier, Amsterdam, (1982). [Solitons and Instantons, Volume 15 - 1st Edition | Elsevier Shop](#)
- [6] N. Manton, P. Sutcliffe, Topological Solitons Cambridge University Press, (2004). [Topological solitons 1 | Theoretical physics and mathematical physics | Cambridge University Press](#)
- [7] L.V. Yakushevich, Nonlinear physics of DNA John Wiley & Sons (2006). [Nonlinear Physics of DNA, 2nd Edition | Wiley](#)
- [8] T.H.R. Skyrme, A non-linear field theory, Proceedings of the Royal Society of London. Series A, **260** (1961), 127-138.
<https://doi.org/10.1098/rspa.1961.0018>
- [9] G. 't Hooft, Nuclear Physics, Magnetic monopoles in a unified gauge theories, Nuclear Physics B **79** (1974), 276-284. [CM-P00060463.pdf\(cern.ch\)](#)
- [10] M.K. Prasad, Instantons and monopoles in Yang–Mills gauge field theories, Physica D, **1** (1980) 167-191.
[https://doi.org/10.1016/0167-2789\(80\)90010-X](https://doi.org/10.1016/0167-2789(80)90010-X)
- [11] M.B. Hindmarsh, T.W.B. Kibble, Cosmic strings, Reports on Progress in Physics **58** (1995) 477.
<https://doi.org/10.1088/0034-4885/58/5/001>
- [12] P.G. Drazin, R.S. Johnson, Solitons: an Introduction, [2nd edition Cambridge University Press](#).
- [13] M.M. El-Borai, E.L. Owaify, H.M. Ahmed and A.H. Arnous, Soliton solutions of the nonlinear Schrodinger equation by three integration schemes, Nonlinear Science Letter A, 8 (2017) 32-40.
- [14] A.H. Khater, R.S. Temsah, and M.A. Hassan, Chebyshev spectral collocation method for solving Burgers'-type equations, Journal of Computational and Applied Mathematics **222** (2008) 333.
<https://doi.org/10.1016/j.cam.2007.11.007>

- nonlinear complex sine-Gordon system, Progress of Theoretical and Experimental Physics, **165** (2014) 112834.
<https://doi.org/10.1093/ptep/ptu002>
- [26] M. Mohammadi, A.R. Olamaei, Soliton-like Solutions of the Complex Non-linear Klein-Gordon Systems in 1 + 1 Dimensions, Iranian Journal of Astronomy and Astrophysics, **1** (2017) 57-68.
<https://doi.org/10.22128/IJAA.2017.108>
- [27] M. Mohammadi, Soliton-like solutions of complex ϕ^4 system in 1+1 dimension spacetime, Journal of Research on Many-body Systems, **8** (2018) 159-169. [In Persian]
<https://doi.org/10.22055/JRMBS.2018.13957>
- <https://doi.org/10.1103/PhysRevD.66.065003>
- [23] D. Bazeia, J.R.S. Nascimento, R.F. Ribeiro, and D. Toledo, Soliton stability in systems of two real scalar fields, Journal of Physics A, **30** (1997) 157.
<https://doi.org/10.1088/0305-4470/30/23/015>
- [24] M. Mohammadi, N. Riazi, The affective factors on the uncertainty in the collisions of the soliton solutions of the double field sine-Gordon system, Communications in Nonlinear Science and Numerical Simulation, **72** (2019) 176-193.
<https://doi.org/10.1016/j.cnsns.2018.12.014>
- [25] M. Mohammadi, N. Riazi, Bi-dimensional soliton-like solutions of the